

PAPER DETAILS

TITLE: Toros sediri (*Cedrus libani* A. Rich.) agaçlandırmalarının gelişimi ile yetişme ortamı özellikleri arasındaki ilişkiler

AUTHORS: Riza KARATAS,Kürsad ÖZKAN

PAGES: 12-21

ORIGINAL PDF URL: <https://dergipark.org.tr/tr/download/article-file/322589>

Toros sediri (*Cedrus libani* A. Rich.) ağaçlandırmalarının gelişimi ile yetişme ortamı özellikleri arasındaki ilişkiler

Rıza KARATAŞ (Orcid: 0000-0002-0940-3944)^{1*}, Kürşad ÖZKAN (Orcid: 0000-0002-8526-7243)²

¹ Orman Genel Müdürlüğü, Orman Toprak ve Ekoloji Araştırmaları Enstitüsü Müdürlüğü, ESKİSEHIR.

² Süleyman Demirel Üniversitesi, Orman Fakültesi, ISPARTA.

*Sorumlu yazar/Corresponding author: rizakaratas@ogm.gov.tr, Geliş tarihi/Received: 29.03.2017, Kabul tarihi/Accepted: 25.05.2017

Öz

Bu çalışma, Eskişehir, Afyonkarahisar ve Ankara illerindeki toros sediri (*Cedrus libani* A. Rich.) ağaçlandırmalarının boy gelişimi ile bazı yetişme ortamı özellikleri arasındaki ilişkileri belirlemek amacıyla yapılmıştır. Örneklemeler bakı, yükselti, eğim, yamaç konumu ve meşcere gelişimi bakımından farklılık gösteren 55 alanda yürütülmüştür. Her örnek alanda meşcere üst boyunda bulunan bir ağaç kesilmiş ve toprak çukuru açılarak belirlenen horizonlardan toprak örnekleri alınmıştır. Laboratuvara toprak örneklerinin bazı fiziksel ve kimyasal özellikleri belirlenmiştir. Toros sediri ağaçlandırmalarının gelişimi ile iklim özellikleri arasındaki ilişkileri belirlemek amacıyla örnek alanlara en yakın mesafede bulunan meteoroloji istasyonu verileri kullanılmıştır. Örnek alanlardaki ağaçların üst boy değerleri ile edafik, klimatik ve fizyografik faktörler arasındaki ilişkiler korelasyon, aşamalı regresyon ve regresyon ağacı yöntemleri ile değerlendirilmiştir. Örnek alanlardaki ağaçların üst boy değerleri ile fizyografik yetişme ortamı faktörlerinden enlem ve yamaç konumu; iklim özelliklerinden ortalama yüksek sıcaklık, potansiyel evapotranspirasyon, su fazlası, en soğuk ayın ortalama sıcaklığı, en sıcak ayın ortalama sıcaklığı ve dört yaz ayının ortalama sıcaklığı; toprak özelliklerinden toz miktarı arasında istatistiksel bakımdan önemli ilişkiler bulunmuştur. Sedir ağaçlandırmalarının boy büyümesi aşamalı regresyon analizi ve regresyon ağacı teknigi kullanılarak modellenmiştir. Uygulanan bu analizler sonucunda, boy gelişimini en iyi açıklayan kestirim modeli %65,6 ile regresyon ağacı teknigi kullanılarak elde edilmiştir.

Anahtar Kelimeler: Sedir, ağaçlandırma, yetişme ortamı özellikleri.

Relationships between growth of taurus cedar (*Cedrus libani* A. Rich.) plantations and site factors

Abstract

This study was carried out to examine the relationships between productivity of taurus cedar (*Cedrus libani* A. Rich.) and some environmental factors in afforestation areas located in Eskişehir, Afyonkarahisar and Ankara provinces. Sampling studies were performed on 55 sample plots that differ in aspect, altitude, slope degree, slope position and stand growth. A tree representing top stand height in each area was cut from each stand and soil samples were taken from the horizons. Some physical and chemical properties of the soil samples were analyzed. The climate data was obtained from the closest meteorological station to determine the relationships between productivity of Taurus cedar and climatic factors. Relations between top height values of trees in stands and edaphic, climatic and physiographic site factors were analyzed using correlation, stepwise regression analysis and regression tree methods. Latitude and slope position as physiographic factors; the average high temperature potential evapotranspiration, water surplus, the average temperature of the coldest month, the average temperature of the hottest month and the average temperature of four months in the summer as climatic factors; silt ratio as edaphic factors were statistically found as the most significant factors on the variation of height growth. The height growth of the species was modelled using stepwise regression analysis and regression tree method. As a result of these methods, the best prediction model was found to be the regression tree method with a ratio of 65.6%.

Keywords: Taurus cedar, afforestation, forest site properties.

To cite this article (Atif): KARATAŞ R., ÖZKAN K., 2017. Toros sediri (*Cedrus libani* A. Rich.) ağaçlandırmalarının gelişimi ile yetişme ortamı özellikleri arasındaki ilişkiler, Orman Genel Müdürlüğü Ormancılık Araştırma Dergisi, 1(4): 12-21
DOI: <https://doi.org/10.17568/ogmoad.302425>

1. Giriş

Sedirin, Himalaya sediri (*Cedrus deodora* Loud.), Kıbrıs sediri (*Cedrus brevifolia* (Hook. f.) Henry),

toros sediri (*Cedrus libani* A. Rich.) ve Atlas sediri (*Cedrus atlantica* Manetti.) olmak üzere dört türü bulunmaktadır (Anşin, 1988). Türkiye'de doğal olarak yayılış gösteren ve araştırmamıza konu

toros sediri doğal olarak dünyadaki en geniş yayılışını Türkiye'de Toros Dağları'nda yapmaktadır. Bunun dışında lokal olarak Sultandağları-Dort Deresi, Emirdağ-Çaykışla, Erbaa-Çatalan ve Niksar-Akıncı köyünde görülmektedir (Boydak, 1996; Günay, 1990). Sedir, Toros Dağları'ndaki yayılışını genel olarak 800-2100 m yükseltiler arasında yapmaktadır. Ancak Finike'de gruplar halinde 530 m, münferit olarak 470 m yükseltiye kadar inerken, Bolkar Dağları-Aydos Dağı'nda 2400 m yükseltiye kadar çıkabilmektedir (Boydak, 1996).

Ülkemizde 2000 yılı sonu itibarıyle ibreli türlerle yapılan ağaçlandırma alanı 1.651.262 hektar olup, sedir 110.487 hektar ile karaçamdan sonra üçüncü sırayı almaktadır (Konukcu 2001). Ülkemizin %35'inin yarı kurak iklim tipinin etkisi altında bulunduğu, son yıllarda ağaçlandırmaların büyük bir bölümünün yarı kurak mintikalarda yapıldığı ve potansiyel ağaçlandırma alanlarının çoğuluğunu da bu bölgelerde bulunduğu bilinmektedir.

Sedirin genel yayılış alanlarında genetik toprak tipi kahverengi orman, kırmızımsı ve kırmızımsı kahverengi Akdeniz topraklarıdır. Bu topraklar genel olarak balçık ve balçıklı kil türünde, granüler ve blok yapıdadır. Hafif asit, nötr veya alkalen reaksiyon gösterir. Sedir en iyi gelişimini çatlaklı olan karstik alanlarda ve gözenekli olan konglomera ve filişler üzerinde yapmaktadır (Atalay, 1987).

Toros sediri ibreli orman ağacı türlerimiz içerisinde karaçam ile birlikte yarı kurak iklim özelliklerine sahip olan İç Anadolu Bölgesi'ndeki ağaçlandırmalarda sıkılıkla kullanılmaktadır. Ancak, bölgede yapılan toros sediri ağaçlandırmalarında gelişim farklılıklarına rastlanılmaktadır. Bu durumun büyük ölçüde yetişme ortamı özellikleri arasındaki farklılıktan kaynaklandığı düşünülmektedir.

Bu çalışmada, toros sediri ağaçlandırmalarının boy gelişimi üzerinde etkili olan edafik, fizyografik ve klimatik yetişme ortamı faktörlerinin

tespit edilmesi ve bu faktörlere göre kestirimde bulunacak bir verimlilik modelinin elde edilmesi amaçlanmıştır. Araştırma sonuçlarının, yörede ve benzer yetişme ortamlarında yapılacak sedir ağaçlandırmalarına katkı sağlayacağı düşünülmektedir.

2. Materyal ve Yöntem

2.1. Araştırma alanının tanıtımı

Araştırma alanları Eskişehir, Afyonkarahisar ve Ankara il sınırları içinde, 4254788 - 4473071 kuzey enlemleri ile 250138 - 538299 doğu boylamları arasında kalmaktadır (Şekil 1). Araştırma alanlarındaki önemli dağ küteleri Sultan Dağı (Gelinci-kana) (2610 m), Sündiken Dağları (1818 m), Türkmen Dağı (1826 m), Sivrihisar Dağları (1516 m), İşık Dağı (2015 m), İdris Dağı (1985 m), Yıldırım Dağı (1980 m), Kavaklı Dağı (1980 m), Elmadağ (1855 m), Keltepe Dağları (1849 m) ve Karacadağ (1724 m)'dır (İzbırak, 1968).

Eskişehir ve Afyonkarahisar illerindeki örnek alanlarda genellikle mikaşit, serizit şist, kireçtaşısı ve dasit anakayaları bulunmaktadır (Güner ve ark. 2011). 1/500.000 ölçekli Türkiye Jeoloji Haritasına göre Ankara ilindeki araştırma alanlarında volkanik breş ve tüfler, andezit, bazalt, kalker, konglomera, kumlu kireçtaşısı ve marn anakayaları yaygın olarak bulunmaktadır (Pamir ve Erentöz, 1975). Eskişehir ve Afyonkarahisar illerindeki örnek alanlarında en yaygın toprak tipleri kireçli-kireçsiz esmer orman toprağı ile solgun-boz esmer orman toprağıdır (Güner ve ark., 2011).

İklim değerlendirmelerinde ağaçlandırma alanlarına en yakın mesafede bulunan Eskişehir, Afyonkarahisar, Emirdağ, Çay ve Ankara meteoroloji istasyonu verileri kullanılmıştır. Meteoroloji istasyonu verilerine göre yıllık ortalama yüksek sıcaklık 21,5-23,8 °C, yıllık ortalama sıcaklık 10,8-12,0 °C, yıllık yağış ise 374,2-530,4 mm arasında değişmektedir.

Tablo 1. Araştırma alanlarının Erinç yöntemine göre iklim tipleri
Table 1. Climate types of the areas according to Erinc Method Erinç method

İli	İlçesi	Ağaçlandırma sahası	Yükselti (m)	Yağış Etkenliği indisi (Im)	İklim tipi
Eskişehir	Merkez	Ömür, Metristepe, Kanlıpınar	900	20,8	Yarı nemli
Eskişehir	Sivrihisar	Kaymaz	1100	24,1	Yarı nemli
Afyonkarahisar	Çay	Çayderesi, Bolvadin	1150	26,0	Yarı nemli
Afyonkarahisar	Çay	Çayderesi, Dortderesi	1300	30,4	Yarı nemli
Afyonkarahisar	Çay	Çayderesi	1400	33,4	Yarı nemli
Afyonkarahisar	Emirdağ	Bayat	1200	24,9	Yarı nemli
Afyonkarahisar	Merkez	Damlalı	1150	23,3	Yarı nemli
Ankara	Merkez, Kazan	Yenikent, Kurtkapanı	1000	20,1	Yarı nemli
Ankara	Elmadağ,	Yenikent, Kurtkapanı, Karakahasan	1200	25,9	Yarı nemli
Ankara	Kazan, Bala	Beynan Köyü, Ergin K., Kamişlı	1400	31,6	Yarı nemli

Araştırma alanında Eskişehir ve Ankara Karadeniz ile İç Anadolu yağış rejimi arasında bir geçiş tipi; Afyonkarahisar, İç Anadolu yağış rejimine sahiptir (Anonim, 1989). Araştırma alanlarının Erinç yöntemine göre iklim tipleri Tablo 1'de verilmiştir (Özyuvaci, 1999). Buna göre örnek alanların tamamı yarı nemli iklim tipine sahiptir.

2.2. Arazi örneklemesi ve laboratuvar analizleri

Örnek alanları Eskişehir, Afyonkarahisar ve Ankara illerindeki 20 yaşın üzerindeki alanlar içerisinde bakır, yükselti, yamaç konumu, eğim ve mesçere gelişimi bakımından farklılık gösteren toplam 55 örnek alanda yapılmıştır (Tablo 2). Örnek alanlar içerisinde en az 15 adet ağaç girecek büyülükte (20×20 m, 10×15 m, 10×10 m) alınmıştır. Deneme alanlarında; eğim klizimetre, yükselti altimetre, bakır pusula, yeryüzü şekli bir yamacın üst kısmındaki sırt çizgisi ile etek kısmı arasındaki yamaç uzunluğu 100 birim kabul edilip, yamaç üst kenarından olan ortalama uzaklık yamaç uzunluğunun yüzdesi olarak hesaplanmıştır, ayrıca tüm bu veriler google earth (URL 2013) ile kontrol edilerek belirlenmiştir. Örnek alanlarda mesçere üst boyuna sahip beş ağaçta yaşı ölçümleri yapılmıştır. Bu beş ağaçtan ortalama en yakın olan ağaç kesilerek boyu cm hassasiyetinde ölçüldükten sonra 2 m aralıklarla bölgelere ayrılarak, her bölümde ince gövde kesitleri alınmıştır. Her örnek alanda birer adet toprak çukuru açılmış ve açılan toprak çukurundaki kesitte mineral toprak horizonları ayrılarak tanımılmıştır (Kantarcı 2000). Toprak ve yetişme ortamı özellikleri tanımlandıktan sonra ayrılan horizonlardan 1 litre hacmindeki silindirler ile toprak örnekleri alınmıştır.

Deneme alanlarından alınan toplam 179 adet toprak

örneği laboratuvara getirilmiştir. Öncelikle hava kurusu hale gelinceye kadar tavallarda bekletilmiş, öğütüllererek analize hazır hale getirilmiştir.

İnce toprak miktarı ve iskelet hacim yüzdesi: Öğütülen toprak örnekleri 2 mm'lik elektrot geçirilerek elde edilen ince topraklar, 105°C sıcaklıkta kurutulmuş ve fırın kurusu ağırlıkları bulunmuştur. Eleğin üzerinde kalan taş ve çakıl miktarı ise hacim olarak belirlenmiştir.

Tane çapı: Bouyoucos hidrometre yöntemine göre; toprak türlerinin belirlenmesi ise, uluslararası tane çapları sınıfına göre yapılmıştır (Irmak 1954).

Toprak reaksiyonu (pH): Cam elektrotlu pH metre ile ölçülmüştür. Aktüel asitlik için topraklar 1:2,5 oranında arı suyla; katyon değişim asitliği için ise 1:2,5 oranında 1N KCl ile karıştırılmış bir gece bekletilmiş, takiben ölçme yapılmıştır (Gülçür 1974).

Organik karbon (OC): Wackley-Black ıslak yakma metodu ile tayin edilmiştir (Gülçür 1974).

Faydalabilir Su Kapasitesi (FSK): Tarla kapasitesi (1/3 atmosfer) ve solma noktasındaki (15 atmosfer) nem içerikleri (%) “basınç tablalı toprak nemi tayin cihazında” belirlenmiştir. Bu iki nem değeri arasındaki fark tespit edilerek, toprakların bitkiler için FSK (%) içerikleri hesaplanmıştır (Çepel 1985).

Elektriksel iletkenlik (ECX10³): Hazırlanan toprak saturasyon ekstraktının 25°C 'deki elektriksel iletkenliği “Conductance Bridge” aletinde miliSiemens/cm olarak belirlenmiştir (Jackson 1962).

Toplam kireç (Kt): Scheibler kalsimetresi ile tayin edilmiştir (Gülçür 1974).

Tablo 2. Örnek alanların yetişme ortamı özelliklerine göre dağılımı
Table 2. Distribution of sample plots according to site factors

Örnek alan sayısı	Yükselti		
	800-1000 m	1000-1200 m	1200-1400 m
Örnek alan sayısı	8	21	26
Eğim			
Örnek alan sayısı	Düz - Az eğimli(%1-9)	Orta - Çok eğimli(%18-36)	
	25	30	
Yamaç konumu			
Örnek alan sayısı	Sırt - Üst yamaç (%0-25)	Orta yamaç (%51-75)	Alt yamaç- Etek, düzlük (%76-100) (% >100)
	13	18	24
Bakır			
Örnek alan sayısı	Gölgeli Bakılar KD-K-KB-D	Güneşli Bakılar GD-G-GB-B	
	37	18	

Kesilen ağaçlardan alınan kesitlerde yaş sayımları yapılarak büyümeye eğrileri çıkartılmıştır. Örnek alanların içerisinde en küçük yaşın 20 yaşına denk gelmesi sebebiyle 20 yaşındaki üst boy değerleri alınmıştır.

2.3. Değerlendirme

Bağımlı değişken olarak; üst boy silvikültürel işlemelerden önemli derecede etkilenmemesi, büyümeyi en iyi şekilde yansıtması, kolay ölçülmesi ve birim alandaki toplam verim gücü ile sıkı ilişki göstermesi sebebiyle mesçere gelişim ölçüsü olarak alınmıştır (Irmak, 1970; Fırat, 1972). Fakat üst boy mesçere yaşına göre değişiklik göstermektedir. Bu sebeple yaşın üst boy üzerindeki etkisini ortadan kaldırmak ve yaşın dışındaki faktörlerin etkisini ortaya çıkarmak amacıyla tüm örnek alanlarda ortak yaşı olan 20 yaşındaki üst boy değerleri bağımlı değişken olarak istatistik analizlerde kullanılmıştır.

İstatistik analiz için kullanılan bağımsız değişkenler; enlem, boylam ve yükselti m, eğim ve yamaç konumu %, baki ise radyasyon indeksine dönüşürtülerek (Denklem 1) kullanılmıştır (Moisen ve Frescino, 2002; Aertsen ve ark., 2010).

$$RI = \frac{[1 - \cos((\pi / 180)(Q - 30))]}{2} \quad (\text{Denklem 1})$$

Formülde, RI : Radyasyon indeksini, Q : Örnek alanın kuzeye göre semt açısını ifade etmektedir.

İklim özelliklerinin değerlendirilmesinde örnek alana en yakın mesafede bulunan meteoroloji istasyonu verileri kullanılmıştır. Meteoroloji istasyonu verileri örnek alanlara enterpole edilirken sıcaklık değerleri her 100 m'de 0,5 °C azaltılmış, yağış değerleri ise her 100 m'de yıllık yağışa 54 mm ilave edilmiştir (Özyuvacı, 1999). Bağımlı değişken olarak kullanılan, üst boy (H_{20}) değerleri ile yetişme ortamı özellikleri arasındaki ikili ilişkiler korelasyon ve regresyon analizi ile incelenmiştir. Böylece verimlilikte önemli derecede etkili olan değişkenlerin neler olduğunu belirlemesi sağlanmıştır. Tespit edilen bu değişkenlerin üst boy üzerinde en önemli ve sağlıklı değişken setini verecek modelleri belirlemek amacıyla aşamalı regresyon analizi yapılmıştır (Kalıpsız, 1994; Özdamar, 2002). Bu araştırmada ayrıca, hiyerarşik olmayan yöntemlere alternatif olması bakımından yetişme ortamı ile büyümeye ilişkilerinin incelenmesinde hiyerarşik bir yöntem olan "Regresyon Ağacı" yöntemi de kullanılmıştır. Regresyon ağacı yöntemi için DTREG paket programı kullanılmıştır (Dtreg, 2015).

3. Bulgular

Örnek alanların meşcere, fizyografik, toprak ve iklim özellikleri Tablo 3'de, Toros sedirinin boy gelişimi ile yetişme ortamı özellikleri arasındaki ilişkilere ait korelasyon analizleri ise Tablo 4'de verilmiştir. Toros sedirin boy gelişimi ile toz, su fazlaşısı (SF), en soğuk ayın ortalama sıcaklığı (ESOAOS) ve potansiyel evapotranspirasyon (PET) arasında $P < 0,05$ önem düzeyinde pozitif, yamaç konumu (YK), ortalama yüksek sıcaklık (OYS), en sıcak ayın ortalama sıcaklığı (ESIAOS) ve dört yaz ayının ortalama sıcaklığı (4YAOS) arasında $P < 0,01$ önem düzeyinde pozitif; enlem (E) arasında ise $P < 0,05$ önem düzeyinde negatif ilişkiler bulunmuştur. Üst boy ile diğer yetişme ortamı faktörleri arasında ise istatistiksel bakımdan anlamlı bir ilişki belirlenmemiştir ($P > 0,05$). Toros sedirin boy gelişimi YK, toz, SF, OYS, PET, ESOAOS, ESIAOS ve 4YAOS'daki artışa bağlı olarak artmaktadır, enlem deki artışa bağlı olarak ise azalmaktadır.

Üst yamaçlardan alt yamaçlara ve taban araziye doğru inildikçe su ve besin maddelerinin artışına bağlı olarak ağaçların su ve besin maddelerinden yararlanma imkanları da artmaktadır. Bu sebeple, konu ile ilgili olarak yapılmış çalışmaların hemen hepsinde (Çepel ve ark. 1977, Ercanlı ve ark. 2008, Gülsoy ve ark. 2014, Güner ve ark. 2011) olduğu gibi Toros sedirinde de üst yamaçtan alt yamaçlara doğru boy gelişimi artmıştır. Enlemedeki artış ile boy gelişiminin azalması, araştırma alanlarının güneyini Göller Bölgesi'nin oluşturması ile açıklanabilir. İklim analizlerinde de görüleceği gibi araştırma alanlarının güneyini daha nemli yetişme ortamları oluşturmaktadır. Yöredeki karaçam ağaçlandırma alanlarında yapılan çalışmada da aynı bulgulara ulaşılmıştır (Güner ve ark., 2011). Üst boy ile yükselti, eğim ve baki arasında istatistiksel bakımda anlamlı bir ilişki belirlenmemiştir. Kızılıçamda (Zech ve Çepel, 1972) da benzer bulgulara ulaşılmıştır. Yine sarıçamda (Güner, 2008), kasnak meşesinde (Karataş ve ark., 2013) ve karaçamda (Güner ve ark., 2011) da baki ile üst boy arasında istatistiksel bakımdan önemli bir ilişki bulunamamıştır.

Toros sedirinin boy gelişimi ile toprakların 1 m^3 hacmindeki değerlerinden toz miktarı arasında pozitif ilişki bulunmuştur. İncelenen diğer toprak özellikleri ile boy gelişimi arasında ise anlamlı ilişkiler belirlenmemiştir. Kasnak meşesinde (Karataş ve ark., 2013) ve karaçamda (Eruz, 1984) yapılan çalışmalarda da benzer bulgulara ulaşılmıştır. Ancak toz miktarındaki artışın boy gelişimi üzerinde nasıl bir etkiye sahip olduğu tam olarak açıklanamamaktadır.

Yapılan korelasyon analizlerinde, Toros sedirinin boy gelişimi en fazla iklim özellikleri ile ilişkili vermiştir. Üst boy ile iklim özellikleri arasındaki ilişkileri belirlemek amacıyla yapılan korelasyon analizinde; üst boy ile OYS, PET, SF ESOAOS, ESIAOS ve 4YAOS arasında pozitif ilişkinin bulunduğu belirlenmiştir. OYS, PET, ESIAOS ve 4YAOS ile boy gelişimi arasında önce artan sonra azalan pozitif bir ilişki mevcuttur. Şekil 2 incelenliğinde sedirin boy gelişimi; OYS 15 °C ile 20 °C arasında arttığı, 20 °C'den sonra azaldığı, PET 630-670mm arasında arttığı 670mm den sonra azaldığı, ESIAOS 20-22 °C sıcaklıklar arasında arttığı 22 °C den sonra azaldığı ve 4YAOS 18-20 °C arasında

arttığı 20 °C den sonra azaldığı görülmüştür. Bu durum OYS, PET, ESIAOS ve 4YAOS bu sınırlar dışında artmasına bağlı olarak topraktaki suyun evapotranspirasyonla kaybolması Toros sedirinin boy gelişiminin azalmasına neden olmuştur. Keza, karaçam ağaçlandırma alanlarında, boy gelişimi ile en kurak ayın yağış miktarı (EKAYM) arasında pozitif (Güner ve ark., 2011), kasnak meşesinin boy gelişimi ile OYS ve PET arasında pozitif (Karataş ve ark., 2013), karaçam ağaçlandırmalarında boy gelişimi ile vejetasyon dönemindeki sıcaklık ve yağış miktarı arasında önemli ilişkiler bulunmuştur (Özel ve ark., 2010).

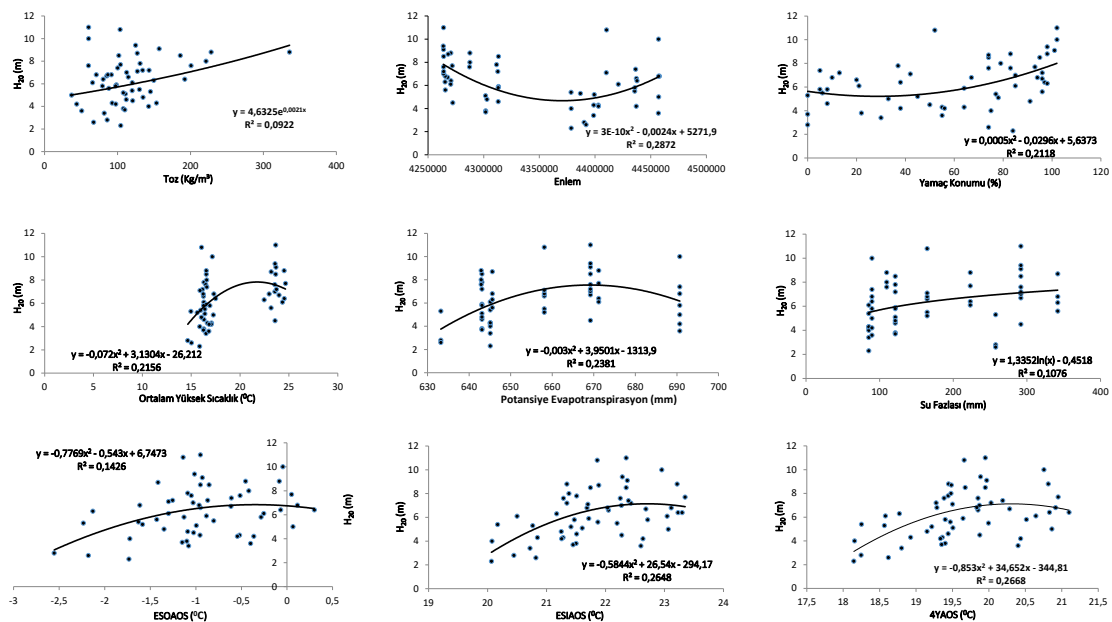
Tablo 3. Örnek alanlardaki üst boy (H_{20}), fizyografik, edafik ve klimatik özellikler
Table 3. Tree height (H_{20}), physiographic, edaphic and climatic properties of sample plots

Değişkenler	Kodu	Birim	Min.	Max.	Ortalama
<i>Mescere özellikler</i>					
Mescere yaşı	MY	yıl	20	47	32
Boy	H	m	3,1	20,2	9,6
20 yaşındaki boy	H_{20}	m	7,0	24,0	12,9
<i>Fizyografik faktörler</i>					
Yükselti	Y	m	831	1482	1172
Eğim	E	%	4	30	12
Yamaç konumu	YK	%	0,0	100,0	58
Bakı	RI		0,017	0,983	0,403
<i>Toprak özellikleri</i>					
Solum (mutlak toprak derinliği)	SLM	cm	5,0	60,0	25,1
İnce toprak miktarı	İTM	kg/m ³	377	1204	773
İskelet hacmi	İH	l/m ³	40,7	391,6	183,5
Kum	KUM	kg/m ³	142,1	814,9	446,4
Toz	TOZ	kg/m ³	37,1	335,8	116,3
Kıl	KİL	kg/m ³	72,1	521,2	210,2
Organik karbon	OC	g/m ³	1412	15496	7288
Faydalı su kapasitesi	FSK	mm/m ³	16,8	156,1	67,8
<i>İklim özellikleri</i>					
Yıllık ortalama sıcaklık	YOS	°C	8,6	11,7	10,1
Ortalama yüksek sıcaklık	OYS	°C	14,6	24,6	18,6
En soğuk ayın ortalama sıcaklığı	ESOAOS	°C	-2,5	0,3	-0,9
En sıcak ayın ortalama sıcaklığı	ESIAOS	°C	20,1	23,4	21,8
4 yaz ayının ortalama sıcaklığı	4YAOS	°C	18,1	21,1	19,6
Yıllık yağış	YY	mm	397,9	814,4	568,4
4 yaz ayındaki yağış miktarı	4YAYM	mm	78,3	138,9	105,5
En kurak ayın yağış miktarı	EKAYM	mm	8,2	23,5	15,0
Erinç indisi	Eİ	mm	23,3	49,2	33,5
Potansiyel evapotranspirasyon	PET	mm	633,2	690,7	657,9
Gerçek evapotranspirasyon	GET	mm	350,2	418,7	385,4
Su açığı	SA	mm	214,5	320,3	272,5
Su fazlası	SF	mm	85,3	341,8	174,3

Tablo 4. H_{20} ile yetişme ortamı özellikleri arasındaki ilişkilere ait Pearson korelasyon analizi sonuçları
Table 4. Results of Pearson rank correlation analysis of relationships between H_{20} and site properties

Değişkenler		H_{20} (m)	Değişkenler		H_{20} (m)	Değişkenler		H_{20} (m)
Y	r	0,176 ^{ns}	KUM	r	0,011 ^{ns}	OYS	r	0,435**
	p	0,198		p	0,938		p	0,001
Enlem	r	-0,328*	FSK	r	0,207 ^{ns}	PET	r	0,286*
	p	0,014		p	0,129		p	0,034
Boylam	r	-0,072 ^{ns}	TOZ	r	0,292*	GET	r	0,184 ^{ns}
	p	0,602		p	0,031		p	0,179
E	r	0,075 ^{ns}	KİL	r	-0,121 ^{ns}	El	r	-0,261 ^{ns}
	p	0,585		p	0,377		p	0,055
YK	r	0,402**	OC	r	-0,025 ^{ns}	ESOAOS	r	0,319*
	p	0,002		p	0,854		p	0,018
RI	r	-0,174 ^{ns}	Su açığı	r	0,053 ^{ns}	ESIAOS	r	0,454**
	p	0,203		p	0,699		p	0,001
SLM	r	0,242 ^{ns}	Su fazlası	r	0,307*	4YAOS	r	0,428**
	p	0,075		p	0,023		p	0,001
İTM	r	0,028 ^{ns}	YOS	r	0,133 ^{ns}	EKAYM	r	0,002 ^{ns}
	p	0,836		p	0,332		p	0,989
İH	r	0,171 ^{ns}	YY	r	0,220 ^{ns}	4YAYM	r	-0,032 ^{ns}
	p	0,213		p	0,106		p	0,815

ns: önemsiz, *: p<0,05, **: p<0,01



Şekil 1. H_{20} ile yetişme ortamı özelliklerine ait regresyon analizi sonuçları
Figure 1. The results of regression analysis between H_{20} and site properties

Meşcere üst boyunu hesaplamada hangi değişkenler kombinasyonunu kullanmak gerektiğini ve boy gelişimi üzerinde baskın etkiye sahip olan yetişme ortamı faktörlerinin neler olduğunu belirlemek amacıyla yapılan aşamalı regresyon analizi Tablo 5'te verilmiştir. Aşamalı regresyon analizi, korelasyon analizlerinde üst boy ile anlamlı ilişki veren fizyografik faktörler, iklim ve toprak özelliklerinin 1 m^3 hacimdeki değerleri ile yapılmıştır. Birinci modelde bağımsız değişken olarak sadece ESIAOS bulunmaktadır. Modelin, 20 yaşındaki boyun toplam değişimini açıklama payı %20,6'dır. İkinci modelde, ESIAOS ve toz miktarı bağımsız değişken olarak bulunmaktadır. Modelin, 20 yaşındaki boyun toplam değişimini açıklama payı %31,5'dir. Modele ait denklem aşağıda verilmiştir.

Tablo 5. H_{20} ile yetişme ortamı özellikleri arasındaki aşamalı regresyon analizi sonuçları
Table 5. Results of stepwise multiple regression analysis of relationships between H_{20} and site properties

Model	R ²	P (Model)	SEE	Modele giren değişkenler	P (Değişkenler)
1	0,206	0,001	1,84	Sabit sayı	-17,345
				ESIAOS	1,082
2	0,315	0,000	1,73	Sabit sayı	-20,336
				ESIAOS	1,148
				TOZ	0,013

R²: ilişki katsayısı, P: önem düzeyi, SEE: tahmini standart hata

Birçok değişken kombinasyonun denenmesine rağmen regresyon modellerin açıklama payı düşük kalmıştır. Bu durumun, çalışmanın geniş bir alanda yapılması ve bu alanın birçok yetişme ortamı alt bölge ve yörülerini kapsamasından kaynaklandığı ve boy gelişimi ile yetişme ortamı faktörleri arasındaki ilişkilerin genel olarak doğrusal olmadığını düşündürmektedir. Bu sebeple, hiyerarşik bir yöntem olan regresyon ağacı yöntemine başvurulmuştur.

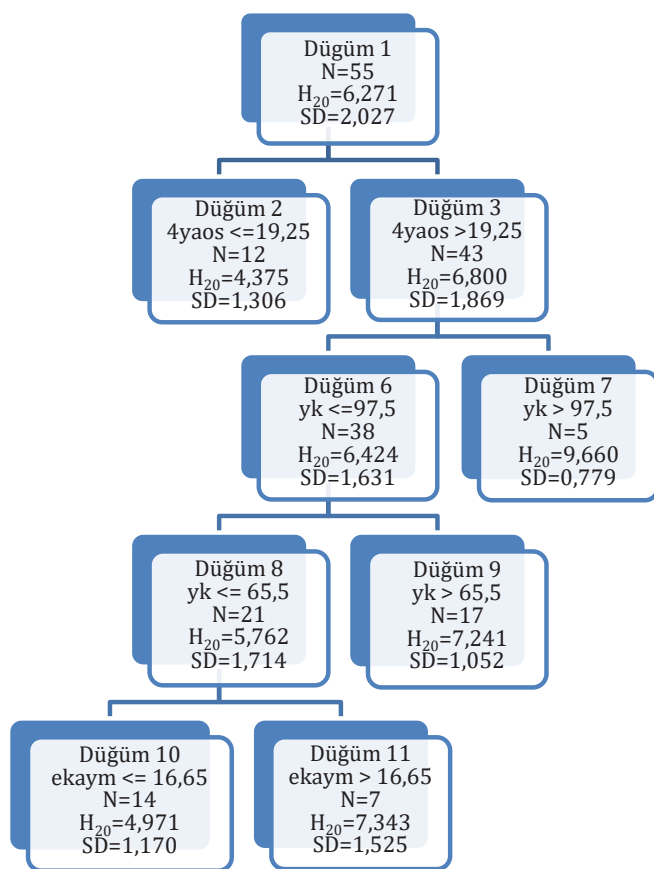
Üst boy ile fizyografik faktörler, toprak ve iklim özellikleri arasındaki hiyerarşik ilişkiler Şekil 2'de verilmiştir. Regresyon ağacı yöntemi ile üst boydaki değişimin %65,6'sı açıklanmış ve çoklu regresyon analizine göre daha tatmin edici bir sonuç elde edilmiştir. Regresyon ağacı yöntemi sonucu 4YAOS, YK ve EKAYM değişkenlerinin etkisi en fazla çıkmıştır. Ancak bu değişkenlerin ayırmadaki öncelikli etkisi alt ayırmalara doğru yerini diğer değişkenlere bırakmaktadır, daha alt ayırmalarda ise bu değişkenlerin verimlilik açısından önemi tekrar ortaya çıkmaktadır. Başka bir ifade ile yamaç konumu değişkeni çalışma ölçüğinde verimlilik açısından en önemli değişken konumundadır. Yamaç konumu itibarıyle ilk ayırım sonrası tekrar yamaç konumu değişkeni önem kazanmaktadır. Yamaç konumunun ikinci kere önemli çıkışması, lokal iklim özelliklerinin genel iklim özelliklerinden daha

$$H_{20} = -20,336 + 1,148(\text{ESIAOS}) + 0,01332 (\text{Toz})$$

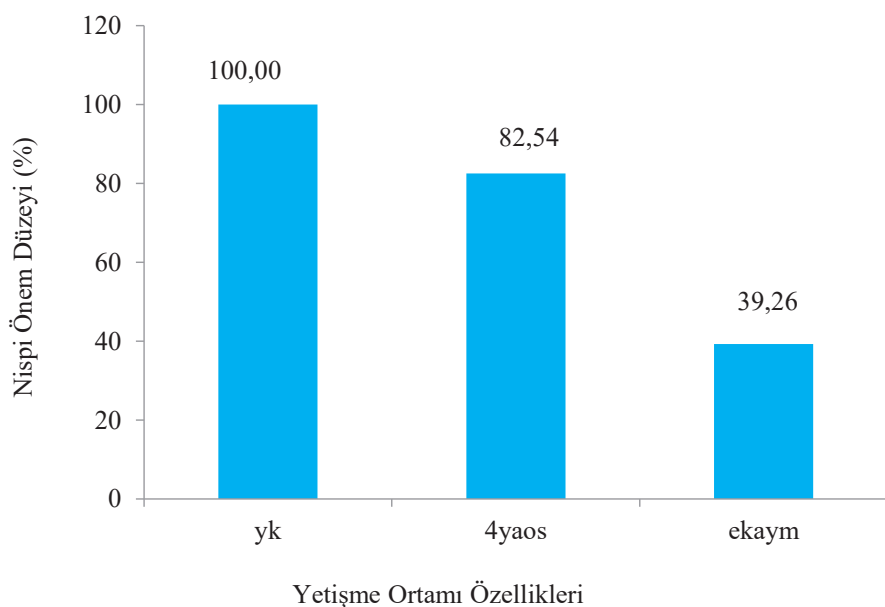
Kasnak meşesinde yapılan çalışmada, üst boy ile ilişkili fizyografik faktörler, toprak ve iklim özelliklerini arasında yapılan aşamalı regresyon analizinde toz, yamaç konumu ve eğimin girdiği denklemin ilişki katsayı %54,7 olarak belirlenmiştir (Karataş ve ark., 2013). Ayrıca; yamaç konumu ve eğim değişkenleri karaçam (Güner ve ark., 2011), kıızılçam (Özkan ve Kuzugüdenli, 2010) ve Doğu ladininde (Ercanlı ve ark., 2008) yapılan çalışmalar da boy gelişimi üzerinde baskın etkiye sahip değişkenler olarak ortaya çıkmıştır. Yine toz değişkeni sarıçamda yapılan bir çalışmada da boy gelişimi üzerinde etkili bir faktör olarak ortaya çıkmıştır (Güner, 2008).

baskın olduğunu göstermektedir. Regresyon ağacı yöntemi ile anlaşılmıştır ki, boy büyümesi üzerinde etkili olan değişkenlerin etkisi kesikli bir şekilde devam etmekte, bir değişkenin verimlilik üzerindeki etkisi farklı hiyerarşik seviyelerde kendini göstermektedir. Benzer şekilde, Mckenny ve Pedlar (2003) de regresyon ağacı yöntemi ile *Pinus banksiana* ve *Picea mariana* türlerinde verimlilik ile iklim ve toprak özellikleri ilişkilerini araştırmışlar, *Picea mariana*'nın verimliliğinde organik toprak derinliğinin farklı hiyerarşik seviyelerde önemli olduğunu tespit etmişlerdir. Kasnak meşesinde yapılan benzer çalışmada, regresyon ağacı yöntemi sonucu boy gelişimi üzerinde yükseltti, toz ve ince toprak miktarının etkisi en fazla çıkmış ve üst boydaki değişimin %54,7'i açıklanmıştır (Karataş ve ark., 2013). Keza, karaçam ağaçlandırma alanlarında yapılan çalışmada üst boydaki değişimin %90,9'u açıklanmıştır (Güner ve ark., 2011).

Ayrıca H_{20} üzerinde etkili olan yetişme ortamı özelliklerinin nispi önem düzeyleri Şekil 3'te verilmiştir. Şekil 3 incelendiğinde boy gelişimi üzerinde en etkili faktörün yamaç konumu olduğu görülmektedir. Yamaç konumunu dört yaz ayının ortalama sıcaklığı (haziran-eylül) ve en kurak ayın yağış miktarı takip etmektedir.



Şekil 2. H_{20} ile yetişme ortamı özellikleri arasındaki ilişkilere ait regresyon ağacı analizi sonuçları
Figure 2. Results of regression tree analysis of relationships between H_{20} and site characteristics



Şekil 3. H_{20} üzerinde etkili olan yetişme ortamı özelliklerinin nispi önem düzeyleri
Figure 3. Relative importance levels of the site characteristics effecting on H_{20}

4. Tartışma ve Sonuç

Eskişehir, Afyonkarahisar ve Ankara illerindeki toros sediri ağaçlandırmalarının boy gelişimi ile yetişme ortamı özellikleri arasındaki ilişkileri incelemek amacıyla gerçekleştirilen bu çalışmada aşağıdaki sonuçlara ulaşılmıştır.

Araştırma alanlarındaki toz miktarı 50-200 kg/m³ arasında değişmektedir. Bu sınırlar içerisinde toz miktarındaki artışa bağlı olarak Toros sedirinin boy gelişimi artmıştır.

Örnek alanlarda Toros sedirin boy gelişimi üzerindeki etkili fizyografik faktörler enlem ve yamaç konumudur. Araştırma alanlarında ve benzer yetişme ortamlarında sedir ağaçlandırmalarında önceliğin orta yamaç, alt yamaç ve taban arazilere verilmesine dikkat edilmelidir. Araştırma alanları 4254788 - 4473071 kuzey enlemleri ile 250138 - 538299 doğu boyamları arasında bulunmaktadır. Sedir bu alanlar içerisinde en iyi gelişimi 4356997 enleminin güneyinde yapmaktadır. Güneyden kuzeye doğru gidildikçe Toros sedirin boy gelişimi azalmaktadır.

Bu çalışmada, iklim özellikleri diğer yetişme ortamı özelliklerine göre Toros sedirin boy gelişiminde daha fazla ilişki göstermiştir. İklim özelliklerinden ortalama yüksek sıcaklık, potansiyel evapotranspirasyon, su fazlası, en soğuk ayın ortalama sıcaklığı, en sıcak ayın ortalama sıcaklığı ve dört yaz ayının ortalama sıcaklığı ile sedirin boy gelişimi arasında pozitif ilişkiler tespit edilmiştir. Sedir, ortalama yüksek sıcaklığı 15-20 °C, potansiyel evapotranspirasyonun 630-670 mm, su fazlasının 100 mm'nin üzerinde, en soğuk ayın ortalama sıcaklığı -1,5 °C'nin üzerine, en sıcak ayın ortalama sıcaklığı 20-22 °C ve dört yaz ayının ortalama sıcaklığının 18-20 °C arasındaki alanlarda daha iyi gelişim göstermektedir.

Türün üst boyunun (H_{20}) modellenmesi için çoklu regresyon analizi ve regresyon ağacı yöntemi kullanılmıştır. Kullanılan bu yöntemlerden açıklama payı en yüksek olan model %65,6 ile regresyon ağacı teknigidir. Elde edilen bu model kullanılarak çalışmanın gerçekleştiği sahalarda ve benzer yetişme ortamlarında sedir ile yapılacak ağaçlandırma çalışmalarının 20 yıl sonra kaç metre üst boyaya sahip olacakları belirlenebilecektir.

Teşekkür

Bu çalışma, Orman Genel Müdürlüğü tarafından desteklenen ESK-19(6314) numaralı araştırma projelerine ait veriler kullanılarak gerçekleştirilmiştir.

Kaynaklar

Aertsen, W., Kint, V., Orshoven, J., Özkan, K., Muys, B., 2010. Comparison and Ranking of Different Modelling Techniques for Prediction of Site Index in Mediterranean Mountain Forests, Ecological Modelling 221, 1119-1130.

Anonim 1989. Türkiye'nin Yağış Rejimi, T. C. Başbakanlık, Devlet Meteoroloji İşleri Genel Müdürlüğü, Zirai Meteoroloji ve İklim Rasatları Daire Başkanlığı, TUMAK Projesi, Ankara, 21 s.

Anşin, R., 1988. Tohumlu Bitkiler (Gymnospermae), Karadeniz Teknik Üniversitesi, Orman Fakültesi, Genel Yayın No: 122, Fakülte Yayın No: 15, Trabzon.

Atalay, I., 1987. Sedir (*Cedrus libani* A. Rich) Ormanlarının Yayılış Gösterdiği Alanlar ve Yakın Çevresinin Genel Ekolojik Özellikleri İle Sedir Tohum Transfer Rejyonlaması. OGM Yayın No: 663, 167s. Ankara.

Boydak, M., 1996. Toros sediri'nin (*Cedrus libani* A. Rich.) Ekolojisi Silvikibürel Ve Doğal Ormanlarının Korunması, Orman Bakanlığı Yayın No: 012, 78s. Ankara.

Çepel, N., Dündar, M., Günel, A., 1977. Türkiye'nin Önemli Yetişme Bölgelerinde Saf Sarıçam Ormanlarının Gelişimi İle Bazı Edafik ve Fizyografik Etmenler Arasındaki İlişkiler, TÜBİTAK, Tarım ve Ormancılık Araştırma Grubu, Proje No: TOAG 154, Tübitak Yayınları No: 354, TOAG, 165s. Ankara.

Çepel, N., 1985. Toprak Fiziği, İ.Ü. Orman Fakültesi Yayınları No: 374, 288s. İstanbul.

Ercanlı, İ., Günlü, A., Altun, L., Başkent, E. Z., 2008. Relationship Between Site Index Of Oriental Spruce [*Picea orientalis* (L.) Link] and Ecological Variables in Maçka, Turkey. Scandinavian Journal of Forest Research 23, 319-329.

Eruz, E., 1984. Balıkesir Orman Başmüdürlüğü Bölgesindeki Saf Karaçam Meşcerelerinin Boy Gelişimi İle Bazı Edafik ve Fizyografik Özellikler Arasındaki İlişkiler, İstanbul Üniversitesi, Orman Fakültesi Yayınları No: 368, 72s. İstanbul.

Fırat, F., 1972. Orman Hasılat Bilgisi, İstanbul Üniversitesi, Orman Fakültesi Yayın No: 166, Kutulmuş Matbaası, İstanbul.

Gülçür, F., 1974. Toprağın Fiziksel ve Kimyasal Analiz Metodları, İstanbul Üniversitesi, Orman Fakültesi Yayınları No: 1970/201, Kutulmuş Matbaası, 225s. İstanbul.

Günay, T., 1990. Afyon-Emirdağ Yukarı Çayıyla Va-

-
- disi'nde Stepe Geçiş Kuşağında Yeni Tespit Edilen Bir Sedir (*Cedrus libani* A. Rich) Kalıntı Mesceresi ve Ekolojik Özellikleri. Uluslararası Sedir Sempozyumu 53-63s. Antalya.
- Güner, Ş. T., 2008. Bozkır Geçiş Bölgesindeki Sarıçam (*Pinus sylvestris* L. ssp. *hamata* (Steven) Fomin.) Ormanlarının Gelişimi ile Bazı Yetişme Ortamı Özellikleri Arasındaki İlişkiler, Çevre ve Orman Bakanlığı, Orman Toprak ve Ekoloji Araştırmaları Enstitüsü Müdürlüğü Yayıni, Bakanlık Yayın No: 358, Müdürlük Yayın No: 3, 41s. Eskişehir.
- Güner, Ş. T., Çömez, A., Karataş, R., Çelik, N., Özkan, K., 2011. Eskişehir ve Afyonkarahisar İllerindeki Anadolu Karaçamı (*Pinus nigra* Arnold. subsp. *pallasiana* (Lamb.) Holmboe) Ağaçlandırmalarının Gelişimi ile Bazı Yetişme Ortamı Özellikleri Arasındaki İlişkiler, Çevre ve Orman Bakanlığı, Orman Toprak ve Ekoloji Araştırmaları Enstitüsü Müdürlüğü Yayıni, Bakanlık Yayın No: 434, Müdürlük Yayın No: 4, 83 s., Eskişehir.
- Irmak, A., 1954. Arazide ve Laboratuvara Toprağın Araştırılması Metodları, İstanbul Üniversitesi Yayınları No: 599/27, 150s. İstanbul
- Irmak, A., 1970. Orman Ekolojisi, İstanbul Üniversitesi, Orman Fakültesi Yayınları, İstanbul Üniversitesi Yayın No: 1650, Orman Fakültesi Yayın No: 149, Taş Matbaası, 367s. İstanbul.
- İzbırak, R., 1968. Türkiye Jeomorfografik Haritası, Harita Genel Müdürlüğü Matbaası, Ankara.
- Jackson, M. L., 1962. Soil Chemical Analysis, Constable and Company Ltd., 498s. London, England.
- Kalıpsız, A. K., 1994. İstatistik Yöntemler, İstanbul Üniversitesi Yayın No: 3835, Fakülte Yayın No: 427, 558s. İstanbul.
- Kantarcı, M. D., 2000. Toprak İldi, İstanbul Üniversitesi, Orman Fakültesi Yayınları No: 4261/462, 420s. İstanbul.
- Karataş, R., Arslan, M., Güner, Ş.T., Çömez, A., Özkan, K., 2013. Göller Bölgesinde Doğal Yayılış Alanlarında Kasnak Meşesinin (*Quercus vulcanica* Boiss. and Heldr. ex Kotschy) Boy Gelişimi ile Yetişme Ortamı Özellikleri Arasındaki İlişkiler. Çevre ve Orman Ba- kanlığı, Orman Toprak ve Ekoloji Araştırmaları Enstitüsü Müdürlüğü, Enstitü Yayın No: 9, 67s. Eskişehir.
- Konukcu, M., 2001. Ormanlar ve Ormancılığımız, DPT Yayın No: 2630, 238s. Ankara.
- Mckenny, D. W., PEDLAR, J.H., 2003. Spatial Models of Site Index Based on Climate and Soil Properties for Two Boreal Tree Species in Ontario, Canada. Forest Ecology and Management 175, 497-507.
- Moisen, G. G, Frescino, T. S., 2002. Comparing Five Modelling Techniques for Predicting Forest Characteristics, Ecological Modelling 157, 209-225.
- Oyoma, M., Takehara, H., 1987. Standart Soil Color Charts, Japan.
- Özdamar, K., 2002. Paket Programlar İle İstatistiksel Veri Analizi-1, 4. Baskı, Kaan Kitabevi, 686s. Eskişehir.
- Özel, H. B., Ertekin, M., Tufanoğlu, G. Ç. 2010. Devrek-Akçasu Yöresinde Karaçam (*Pinus nigra* Arnold. ssp. *pallasiana* (Lamb.) Holmboe) ve Sarıçam (*Pinus sylvestris* L.) Ağaçlandırmalarında Boy Artımı ile Bazı İklim Faktörleri Arasındaki İlişkinin İncelenmesi. Ecological Life Science 5 (4), 376-389.
- Özkan, K., Kuzugüdenli, E., 2010. Akdeniz Bölgesi Sütçüler Yöresinde Kızılçamın (*Pinus brutia* Ten.) Verimliliği ile Yetişme Ortamı Özellikleri Arasındaki İlişkiler, Süleyman Demirel Üniversitesi, Orman Fakültesi Dergisi, Seri A(1), 16-29, Isparta.
- Özyuvaci, N. 1999. Meteoroloji ve Klimatoloji, İ.U, Orman Fakültesi Yayınları No: 4196, Dilek Ofset Matbaacılık, İstanbul, 369 s.
- Pamir, H.N., Erentöz, C., 1975. 1/500 000 Ölçekli Türkiye Jeoloji Haritası, Ankara Paftası, Maden Tetkik ve Arama Enstitüsü Yayınları, 111s. Ankara.
- URL, 2015. DTREG Software For Predicting Modeling and Forecasting <http://www.dtreg.com>.
- URL, 2013. Google Earth 7.1.2.2041, Oluşum Tarihi: 10/7/2013, kh.google.com
- Zech, W., Çepel, N., 1972. Güney Anadolu'daki Bazı *Pinus brutia* Meşcerelerinin Gelişimi ile Toprak ve Relief Özellikleri Arasındaki İlişkiler, İstanbul Üniversitesi Yayın No: 1753/191, 107s. İstanbul.